

# CyberPhysicalSystems

## 一、Finite State Automata

static: 没有memory, 没有状态变量

deterministic: 同样的输入只有确定的下一个状态

输入事件, 输出事件:  $IE_i^{(n)}, OE_i^{(n)}$ ,  $n$ 为大类,  $i$ 为子类。

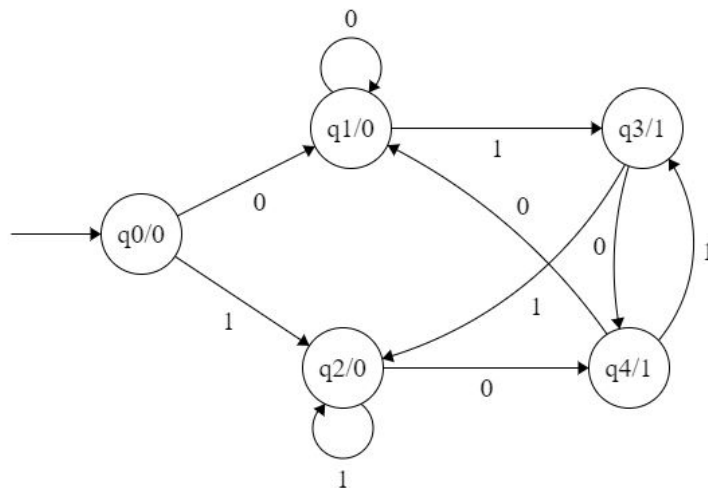
unique 输入输出事件: 单独事件的组合, 因为状态机只允许一个状态出现。unique输入事件要利用  $IE_*^{(n)}$  设定优先级。

$$\begin{aligned}\tilde{u}_1 &= \{IE_1^{(2)}, IE_*^{(1)}, IE_*^{(3)}, IE_*^{(4)}\} \\ \tilde{u}_2 &= \{IE_1^{(4)}, IE_*^{(1)}, IE_*^{(3)}\} \\ \tilde{u}_3 &= \{IE_2^{(4)}, IE_*^{(1)}, IE_*^{(3)}\} \\ \tilde{u}_4 &= \{IE_1^{(3)}, IE_*^{(1)}\} \\ &\vdots \\ \tilde{u}_7 &= \{IE_1^{(1)}\}\end{aligned}$$

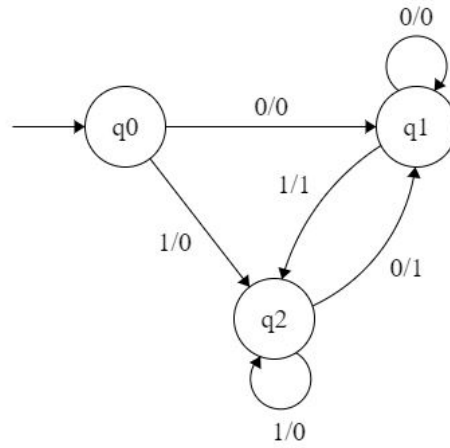
\*代表忽略, \*越多则中断等级高。\*越少的, 优先级越低。unique输出事件直接组合OE即可。

$$\tilde{y}_1 = \{OE_1^{(1)}, OE_1^{(2)}, OE_1^{(3)}\}$$

Moore型与Mealy型状态机: Moore型输出只取决于当前状态, 输出写在状态结点上;



Mealy型取决于当前状态与输入, 输出写在输入Transition上。



不管是Moore型还是Mealy型，遇到没有定义的Transition时一般回到自己 (Self transition) 并输出空事件 $\epsilon$

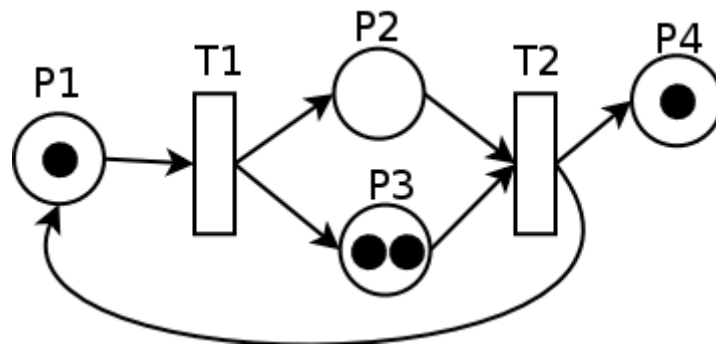
这样就可以写出State transition Table

$z(k)/y(k)$	$\tilde{u}_1$	$\tilde{u}_2$	$\tilde{u}_3$	$\tilde{u}_4$	$\tilde{u}_5$	$\tilde{u}_6$	$\tilde{u}_7$
$z_1/\tilde{y}_1$	$z_2$	$z_1$	$z_1$	$z_1$	$z_5$	$z_1$	$z_4$
$z_2/\tilde{y}_3$	$z_3$	$z_3$	$z_2$	$z_2$	$z_2$	$z_2$	$z_2$
$z_3/\tilde{y}_2$	$z_3$	$z_3$	$z_1$	$z_3$	$z_3$	$z_3$	$z_3$
$z_4/\tilde{y}_2$	$z_4$	$z_4$	$z_4$	$z_1$	$z_4$	$z_4$	$z_4$
$z_5/\tilde{y}_4$	$z_5$	$z_5$	$z_5$	$z_5$	$z_5$	$z_2$	$z_5$

## 二、Petri-Net

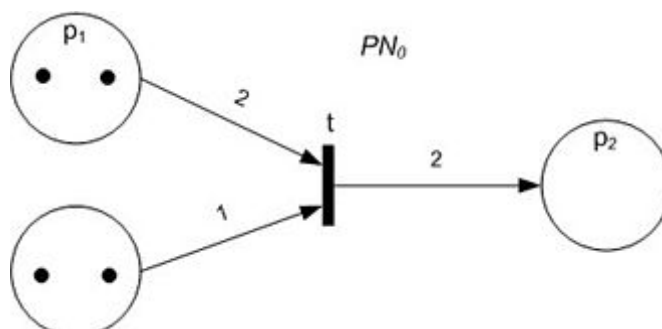
适用于cocurrent事件，即多个状态同时发生且需要同步。

数学概念：FSA是Normal Graph，只有一种结点可以随便连。Petri-Net是Bipartite Graph，有两种结点、有方向。



这两种结点是Place与Transition。 $PRE : P \rightarrow T, POST : T \rightarrow P$

**Token 令牌**：当且仅当一个T的所有Pre-place令牌都到位时才会下一步，由此实现同步，即wait for each other



Transition激活称为Fire，每次Fire后k+1时刻p位置令牌数量m为：

$$m(p, k+1) = \begin{cases} \text{不变} & , \text{和 } T_1 \text{ 无关} \\ -1 & , \text{在 } T_1 \text{ 上家} \\ +1 & , \text{在 } T_1 \text{ 下家} \\ \text{不变} & , \text{自循环} \end{cases}$$

向量化表示所有Transition就要用到incidence matrix，

$$N = \left[ \begin{array}{cc|ccc} -1 & 0 & & & \\ 1 & 0 & & & \\ 1 & -1 & \cdots & & \\ 0 & -1 & & & \\ 0 & 1 & & & \end{array} \right] \left. \vphantom{\begin{array}{cc|ccc} -1 & 0 & & & \\ 1 & 0 & & & \\ 1 & -1 & \cdots & & \\ 0 & -1 & & & \\ 0 & 1 & & & \end{array}} \right\} places$$

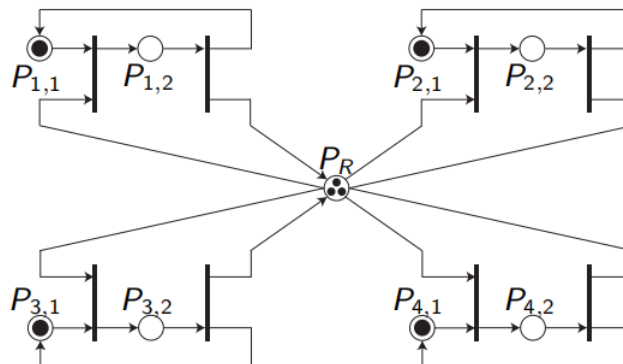
初状态  $m_0 + N \cdot \delta_0 = \text{次状态}$

$$\begin{bmatrix} 1 \\ 0 \\ 0 \\ 1 \\ 0 \end{bmatrix} + N \cdot \begin{bmatrix} 1 \\ 0 \\ 0 \end{bmatrix} = \begin{bmatrix} 0 \\ 1 \\ 1 \\ 1 \\ 0 \end{bmatrix}$$

存在三种Petri-Net：

- Place/Transition: 每个Place上可以有任意个令牌
- Condition/Event：每个Place上有且仅有一个令牌
- Signal-Interpreted：Condition/Event加上输入输出

P/E Petri-Net用法：共用资源



Non-Deterministic：

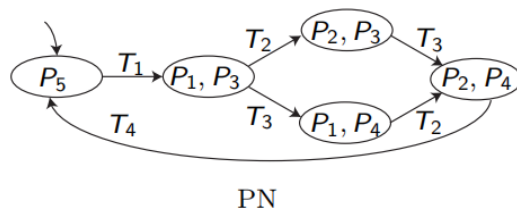
- 一P对多T：任何网络都可能遇到，不知道接下来会触发哪个T
- 多T对一P：C/E网络中，由于一P最多就一个令牌，多个T也不能同时发射

Synchronization Graph：严格按照  $T \rightarrow P \rightarrow T$  的单一连接顺序

## Signal-Interpreted Petri-Net

在C/E Petri-Net的基础上：

- Transition 加上输入开关u
- Place 加上输出y



1. maximum step: 所有已满足条件（输入开关+令牌）的Transition均可发射
2. Iterative Firing：连环消消乐，遇到没有开关或者开关已满足的Transition直接跳过，这些Transition永远不会被触发

Reachable Set  $\epsilon(m_0)$  : 从一个初态开始, 所有可能的系统状态集合。

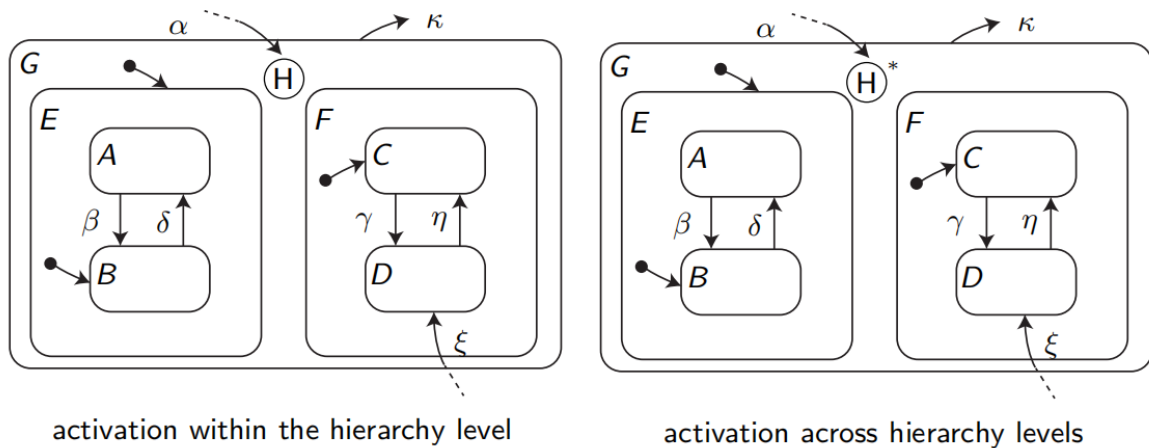
	0	1	—	$c$
0	0	$c$	0	$c$
1	$\cdot$	1	1	$c$
—	$\cdot$	$\cdot$	—	$c$
$c$	$\cdot$	$\cdot$	$\cdot$	$c$

**Well-Defined** : Stable+Conflict-Free+Complete-Output+Deterministic Firing , 此时可以与FSA互相转化。

### 三、Statecharts

有层级关系的FSA，主要特征是Superstate。比如紧急避险状态可能包含不少子状态，就不需要为它们一个个设置状态。

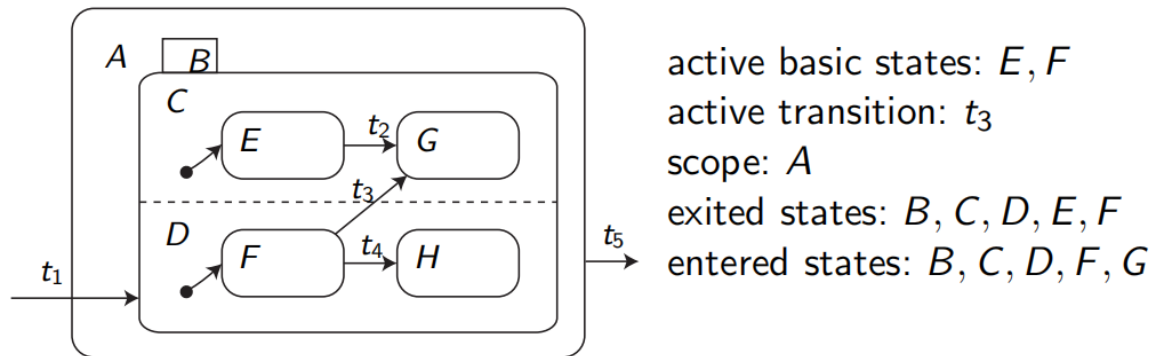
初始化：即使有Superstate存在，初状态仍要具体到某些子状态（Basic State）



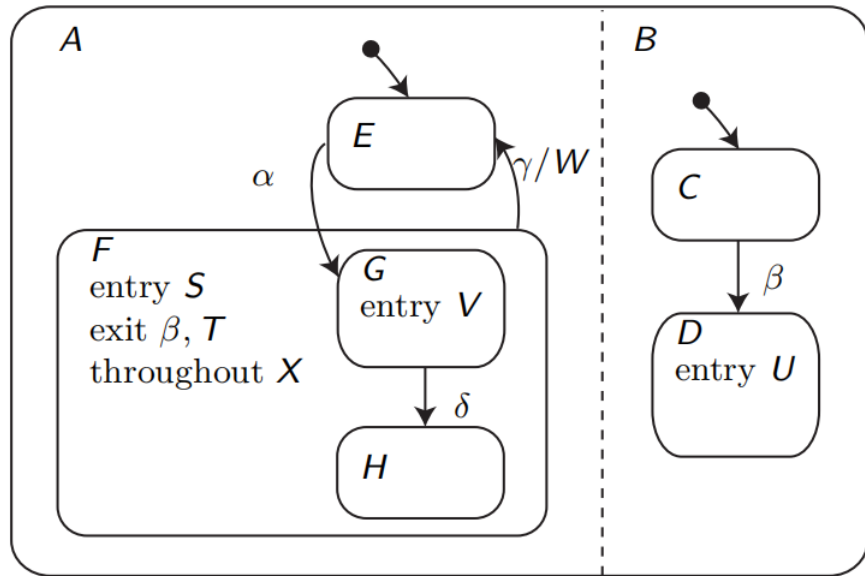
每个层级都可以有一个H结点，用于保存退出时在这一层的结点信息。若没有则这一层存档丢失，要从默认结点开始。

XOR-State：这个状态中能有一个子状态激活

AND-State：同步状态用虚线分隔，被同步状态绑定的两个子状态激活联动。



1. StateCharts 可以在状态转移（类似Moore型）或收到输入（类似Mealy型）或保持状态时有输出。分别对应Entry, Exit, Throughout
2. 外部输入信号（希腊字母 $\alpha, \beta$ 等）、内部的状态信号（ $[in(A)], [NOT in(B)]$ ）、以及内部输出信号（大写拉丁字母ABC）都可以激发状态转移
3. 如果是内部信号激发的转移，则不消耗时间（Still  $t_1$ ）
4. FSA输出信号只限于某个时间点，Petri-Net输出信号可以是连续时间，而Statecharts开关信号也可以连续。



	$t_0$	$t_1$	$t_2$	$t_3$	still $t_3$
external event	—	$\alpha$	$\delta$	$\gamma$	—
generated event	—	$S, V$	—	$T, W, \beta$	$U$
active basic states	$(E, C)$	$(G, C)$	$(H, C)$	$(E, C)$	$(E, D)$
$X(t), t \in [t_k, t_{k+1}]$	inactive	active	active	inactive	inactive

Scope：一条Transition的Scope为囊括它起点与终点的最低一层XOR-Fashion

当输入信号相同的两条Transition冲突时，执行Scope大的那条

## 四、Discrete Control

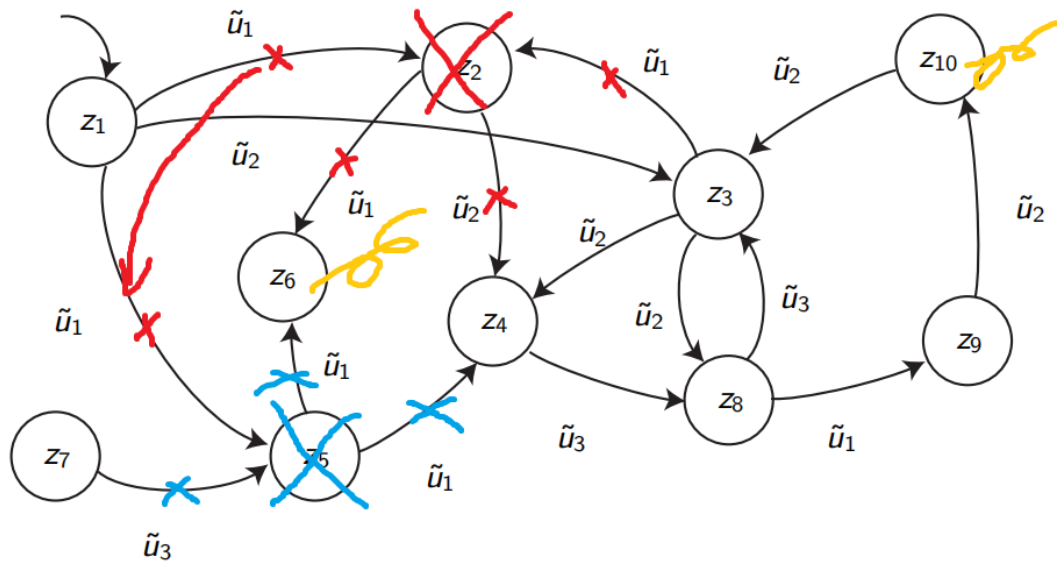
控制器Controller  $\longleftrightarrow$  工厂Plant

### Controller For Non-deterministic FSA

前提是工厂的状态图已知

- 工厂彻底禁止某些事件  $Z_f$ ，连带和它们相连的所有Transition
- 对某些状态，只禁止某些输入  $\Omega_f = \{(Z_x, U_x), \dots\}$
- 最后要到达目标事件  $Z_g$  goal

Plant model:

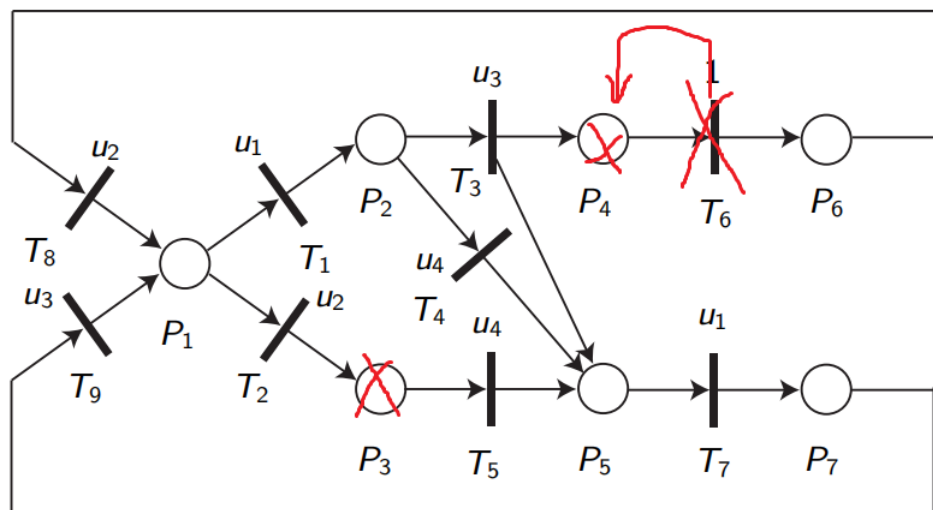


1. 禁止状态： $z_2$
2. 删除Transition：只删除 $z_2$ 的所有输入输出还不够。由于Non-deterministic，为了完全杜绝进入 $z_2$ 的可能性，必须ban掉所有 $z_1$ 出发的 $u_1$ 输入线，但只能禁止状态、没法禁止输入，因此 $z_5$ 不幸也顺带被禁
3. 最后找一条起点至终点最短路径  $z_1 \rightarrow z_3 \rightarrow z_8 \rightarrow z_9$  或  $z_1 \rightarrow z_3 \rightarrow z_4 \rightarrow z_8 \rightarrow z_9$  ( $z_3$ 输入 $u_2$ 时非Deterministic)

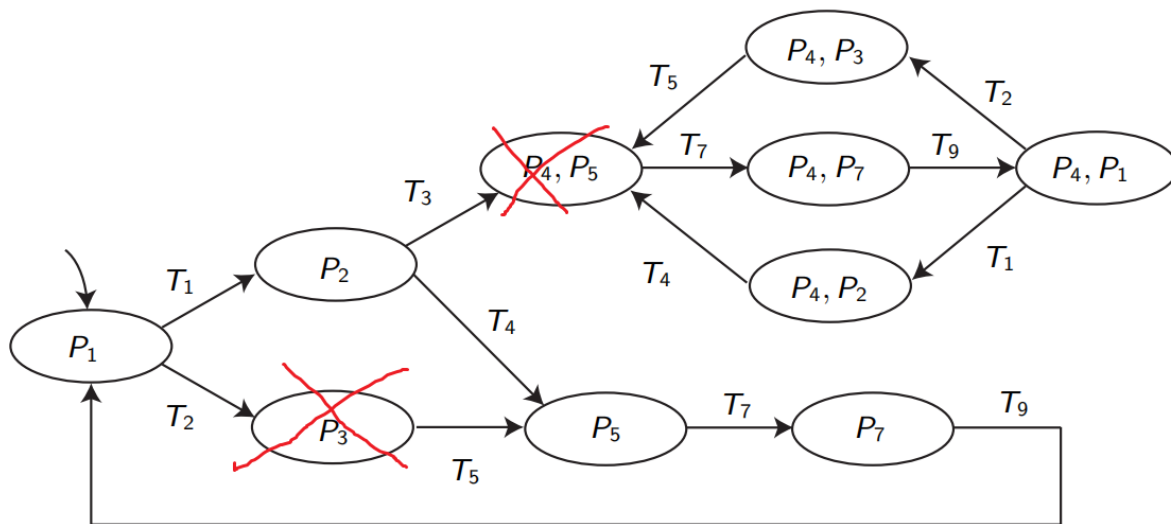
### Controller For Petri-Net

- 禁止某些状态组合 Marking  $\mathcal{M}_f$
- 禁止某些转移 $T_f$ ，若不可控Transition（开关永远为1）被禁，还必须删除其Pre-Place
- 最后要到达某个 Marking  $\mathbf{m}_g$

Plant model:



1. 题设  $T_f = \{T_6\}$ .  $\mathcal{M}_f = [**1****]$
2.  $\mathcal{M}_f = [**1****] \cup [***1***]$
3. 转化为Reachability Graph



## 五、Discrete System Verification

## 六、连续系统建模与仿真

### 非线性ODE解析解 Separation of variables

$$\frac{d\nu}{d\xi} = \tilde{g}(\xi)\tilde{f}(\nu) \implies \int \frac{1}{\tilde{f}(\nu)} d\nu = \int \tilde{g}(\xi) d\xi$$

e.g.  $\dot{h} = -k\sqrt{h}$ , 此时  $\nu = h; \xi = t$  (时间)

$$\therefore \tilde{g}(\xi) = 1, \tilde{f}(\nu) = -k\sqrt{\nu} = -k\nu^{0.5}$$

$$\implies \int -\frac{1}{k}\nu^{-0.5} d\nu = \int 1 \cdot d\xi \implies -\frac{2}{k}\nu^{0.5} + C_1 = \xi + C_2$$

$$\therefore \nu = \left[-\frac{k}{2}(\xi + C)\right]^2$$

求初值：代入  $\xi = 0, \nu_0 = \left(-\frac{k}{2}C\right)^2 = h_0$

### 线性时不变系统LTI 存在解析解

$$\text{齐次解 } x^{(h)}(t) = e^{a(t-t_0)} x_0$$

$$\text{特解 } x^{(p)}(t) = \int_{t_0}^t e^{a(t-\tau)} u(\tau) d\tau$$

由于是线性系统，解析解就是两个解叠加

$$\text{一维情况下：} x(t) = x^{(h)}(t) + x^{(p)}(t)$$

### 数字解法

- 欧拉法  $\dot{x}(t) = f[x(t)]$ ,  $x(t_{k+1}) = x(t_k) + \underbrace{(t_{k+1} - t_k)}_{\text{步长 } h} \underbrace{f(x(t_k))}_{\text{梯度}}$
- Heun Method  $x(t_{k+1}) = x(t_k) + (t_{k+1} - t_k) \cdot \frac{1}{2} [f(x(t_k)) + f(x(t_{k+1}))]$

为了得到  $x(t_{k+1})$  需要它本身的信息，这是不可能的，所以等式右边用欧拉法代替

$$K_1 = f(x(t_k)), K_2 = f[x(t_k) + hK_1]$$

$$x(t_{k+1}) = x(t_k) + h \cdot \frac{1}{2}(K_1 + K_2)$$

- Runge-Kutta  $x(t_{k+1}) = x(t_k) + h \cdot \frac{1}{6}(K_1 + 2K_2 + 2K_3 + K_4)$



$$\begin{aligned}
K_1 &= f[x(t_k)] \\
K_2 &= f[x(t_k) + \frac{1}{2}hK_1] \\
K_3 &= f[x(t_k) + \frac{1}{2}hK_2] \\
K_4 &= f[x(t_k) + hK_3]
\end{aligned}$$

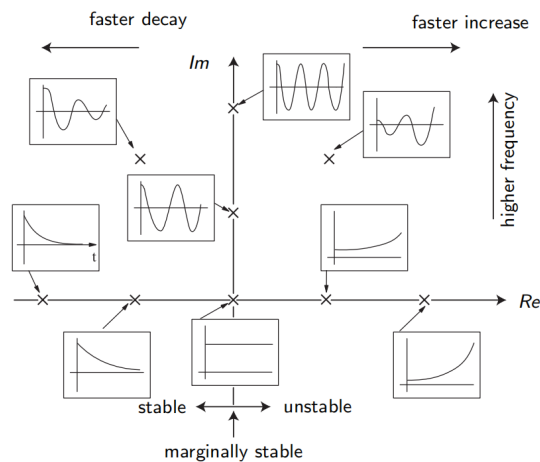
这三种方法的误差呈指数级下降

$$\left| \frac{x^e(t_k+h) - x(t_k+h)}{h} \right| \leq C \cdot h^p, \text{ 指数 } p \text{ 越大, 误差越小}$$

欧拉  $p=1$ , Heun  $p=2$ , Runge  $p=4$

## 七、分析连续系统

稳定条件:  $\dot{x}(t) = A \cdot x(t)$ ,  $A$  所有特征值均  $Re < 0$



$$\begin{aligned}
\dot{\vec{x}}(t) &= \mathbf{A}\vec{x}(t) + \mathbf{B}\vec{u}(t) \\
\vec{y}(t) &= \mathbf{C}\vec{x}(t) + \mathbf{D}\vec{u}(t)
\end{aligned}$$

Controllability:  $R = \begin{pmatrix} A & AB & A^2B & \dots & A^{n-1}B \end{pmatrix}$  若满秩则该系统完全可控 (从任意状态到任意状态)

Observability:  $O = \begin{pmatrix} C^T & A^T C^T & (A^T)^2 C^T & \dots & (A^T)^{n-1} C^T \end{pmatrix}$ , 若满秩说明只看输入输出就可知状态。(单输出只要检查  $\det(O) \neq 0$  即可)

拉氏变化:

$$\begin{aligned}
sX(s) &= AX(s) + BU(s) \implies X(s) = (sI - A)^{-1}BU(s) \\
Y(s) &= CX(s) + DU(s) \implies \underbrace{[C(sI - A)^{-1}B + D]}_{G(s)}U(s)
\end{aligned}$$

传递函数为  $G(s) = C(sI - A)^{-1}B + D$ , 一维情况下  $G(s) = \frac{cb}{s-a} + d$

初值定理与终值定理:

$$\begin{aligned}
\lim_{t \rightarrow 0} f(t) &= \lim_{s \rightarrow \infty} sF(s) \\
\lim_{t \rightarrow \infty} f(t) &= \lim_{s \rightarrow 0} sF(s)
\end{aligned}$$

非线性系统稳定的条件

Lyapunov function  $\dot{V}(x) \leq 0$

仍用线性系统举例: MSD系统, 设  $s_0 = 0, u = 0$

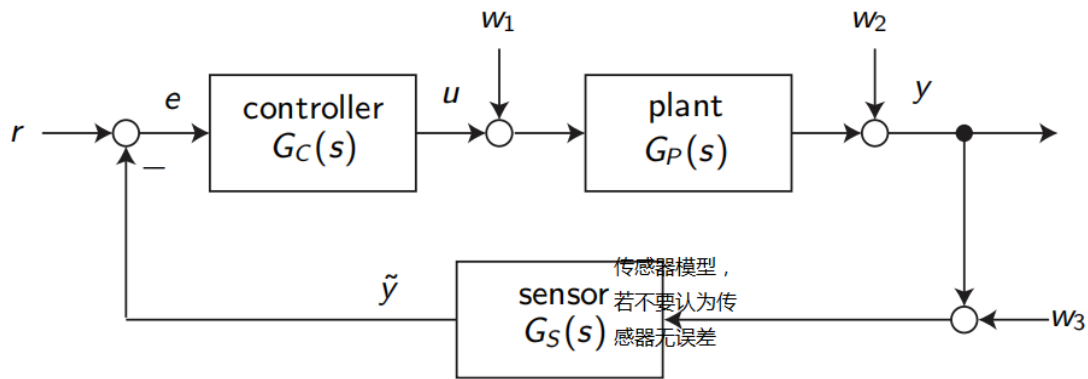
$$\begin{aligned}\dot{x}_1 &= x_2 \\ \dot{x}_2 &= \frac{1}{m}(-cx_1 - d(x_2))\end{aligned}$$

$V$  一般选取能量，此例中，动能  $T = \frac{1}{2}mx_2^2$ , 弹簧势能  $P = \frac{1}{2}cx_1^2$

$$V = T + P = \frac{1}{2}mx_2^2 + \frac{1}{2}cx_1^2$$

$$\begin{aligned}\dot{V} &= \frac{\partial V}{\partial x} \cdot \frac{dx}{dt} \\ &= (cx_1 \quad mx_2) \begin{pmatrix} \dot{x}_1 \\ \dot{x}_2 \end{pmatrix} \\ &= cx_1x_2 + mx_2 \frac{1}{m}(-cx_1 - dx_2) \\ &= -dx_2^2 < 0\end{aligned}$$

## 八、单输入单输出系统



$$\begin{aligned}G_{YR} &= \frac{G_C \cdot G_P}{1 + \underbrace{G_C G_P G_S}_{G_0}} = \frac{G_C G_P}{1 + G_0} \\ G_{YW_1} &= \frac{G_P}{1 + G_0} \\ G_{YW_2} &= \frac{1}{1 + G_0} \\ G_{YW_3} &= \frac{-G_0}{1 + G_0}\end{aligned}$$

### PID 控制器

$$U(s) = (K_p + sK_d + \frac{K_I}{s})E(s)$$

PD 控制器可以稳定系统，但存在稳态误差

$$\lim_{t \rightarrow \infty} y(t) - r(t) = \lim_{s \rightarrow 0} s \cdot (Y(s) - R(s)) = \lim_{s \rightarrow 0} s \cdot (G_{YR} - 1)R(s)$$

可以引入  $K_I$  来消除稳态误差：

$G(s) = \frac{K(1+b_1s+\dots+b_ws^w)}{s^m(1+a_1s+\dots+a_us^u)}$ ，如果本身有一个极点就不需要  $K_I$ ，只有分母上没有  $s$  的 0 态系统需要额外加一个  $s$  在分母上。

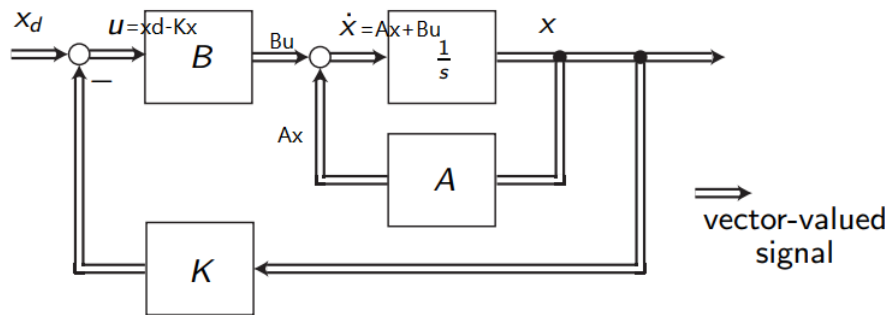
root-locus?

## 九、多输入多输出系统

### State feedback control

适用于：有多个输入输出且状态变量之间有关联

$$u = x_d - K \cdot x$$



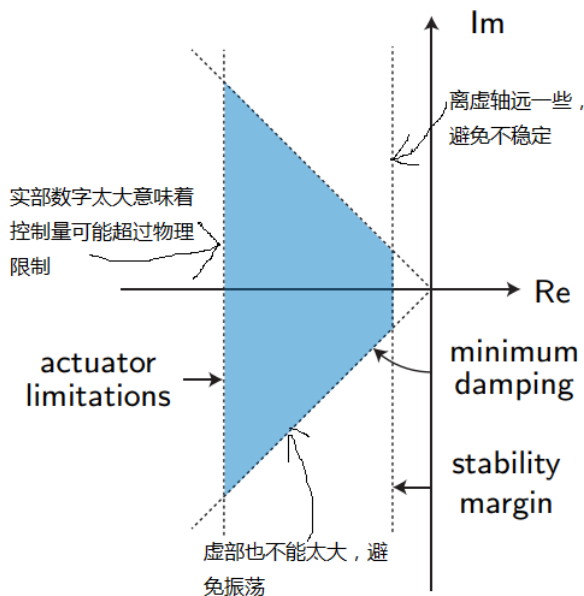
限制：状态量 $\vec{x}$ 必须直接知道，不能再用传感器测量值

$$\begin{aligned}\dot{x} &= Ax + Bu \\ &= Ax + B(x_d - Kx) \\ &= (A - BK)x + B \cdot x_d \\ &= A_c x + u_c\end{aligned}$$

当系统完全可控时，可用这种方法得到任意响应（任意极点）的系统。

## 线性二次优化

实际上由于物理限制不可能任意取极点，



要求最优极点是一个二次项最优方程： $J = \int_0^\infty \underbrace{x^T Q x}_{\text{状态偏离惩罚}} + \underbrace{u^T R u}_{\text{能量消耗惩罚}} dt$ ，设 $x_d = 0$ ，所以 $x$ 和 $u$ 都是越小越好

要使这个二次项积分有上限，二次项的终值必须为0  $\rightarrow x, u$ 终值为0

（证明略）最优解为 $K = R^{-1} B^T P_+$ ，其中 $P_+$ 为方程 $PA + A^T P - PBR^{-1} B^T P + Q = 0$ 的**正定，对称解**

$$P_+ = \begin{bmatrix} p_{11} & p_{12} \\ p_{21} & p_{22} \end{bmatrix}$$

对称： $p_{12} = p_{21}$

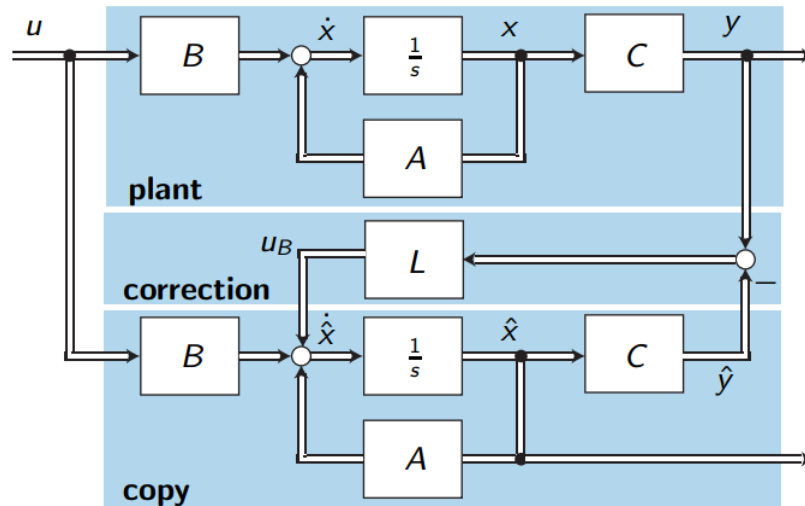
Sylvester's criterion:  $p_{11} = P_{+ \text{小矩阵}} > 0, p_{11}p_{22} - p_{12}^2 = \det(P_+) > 0$

一般 $Q = qI, R = I$ ， $Q$ 是必须的， $R$ 不是必须的

Q也可以是  $\begin{pmatrix} \underbrace{10}_{\text{惩罚重}} & & \\ & \underbrace{1}_{\text{惩罚轻}} & \\ & & 10 \end{pmatrix} \begin{pmatrix} p \\ v \\ a \end{pmatrix}$  , 一般就设对角线元素就可以了

## Luenberger Observer

一般情况下状态量还是隐藏的, 只有测量值  $y = Cx + Du$ 。要得到状态值可以用软件来模拟真实的物理系统, 而软件中所有状态都是已知的。→用软件系统里的状态作为真实系统的状态返回值



$$\begin{aligned}
 u_B &= L(y - \hat{y}) \\
 &= L[(Cx + Du) - (C\hat{x} + Du)] \\
 &= LC(x - \hat{x}) \\
 \hat{\dot{x}} &= A\hat{x} + Bu + LC(x - \hat{x}) \\
 \text{误差 } \tilde{x} &= \dot{x} - \hat{\dot{x}} \\
 &= (Ax + Bu) - [A\hat{x} + Bu + LC(x - \hat{x})] \\
 &= A(x - \hat{x}) - LC(x - \hat{x}) \\
 &= \underbrace{(A - LC)}_{A_0} \underbrace{(x - \hat{x})}_{\tilde{x}}
 \end{aligned}$$

即可以任意选定一个L, 使得  $A_0 = A - LC$  观测状态量和实际值之间没有误差

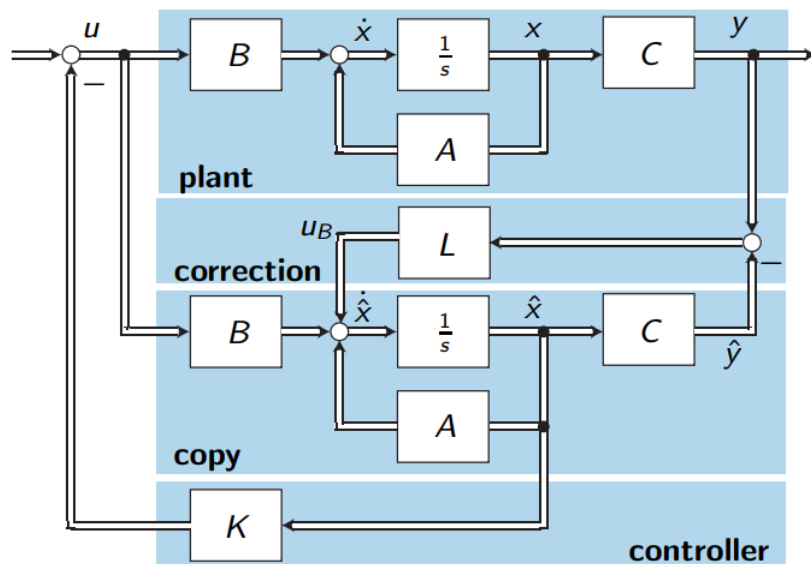
这也是一个优化问题:  $J(\tilde{x}) = E(\|\tilde{x}\|^2) = \lim_{T \rightarrow \infty} \frac{1}{2T} \int_{-T}^T \|\tilde{x}(t)\|^2 dt$

$$\begin{array}{l|l}
 \dot{x} = Ax + Bu + v & \text{process error} \\
 y = Cx + Du + w & \text{传感器误差}
 \end{array}$$

(证明略) 最优解为  $L = \Pi_+ C^T W$

其中,  $\Pi_+$  为等式  $-A\Pi - \Pi A^T + \Pi C^T W^{-1} C \Pi = V$  的**正定解**

## 合并任意控制与任意观测



$$\begin{aligned}
 \dot{x} &= Ax + B \overbrace{(x_d - K\hat{x})}^u \\
 &= Ax + Bx_d - BK \underbrace{\hat{x}}_{x-\tilde{x}} \\
 &= (A - BK)x + Bx_d + BK\tilde{x}
 \end{aligned}$$

$$\therefore \begin{bmatrix} \dot{x} \\ \dot{\tilde{x}} \end{bmatrix} = \begin{bmatrix} A - BK & BK \\ 0 & A - LC \end{bmatrix} \begin{bmatrix} x \\ \tilde{x} \end{bmatrix} + \begin{bmatrix} B \\ 0 \end{bmatrix} x_d \quad ①$$

$$\text{再加上观测矩阵的公式: } \dot{\tilde{x}} = (A - LC)\tilde{x} \implies \begin{bmatrix} \dot{x} \\ \dot{\tilde{x}} \end{bmatrix} = \begin{bmatrix} 0 & A - LC \end{bmatrix} \begin{bmatrix} x \\ \tilde{x} \end{bmatrix} \quad ②$$

合并①②式可得

$$\begin{bmatrix} \dot{x} \\ \dot{\tilde{x}} \end{bmatrix} = \underbrace{\begin{bmatrix} \overbrace{A - BK}^{A_c} & BK \\ 0 & \underbrace{A - LC}_{A_0} \end{bmatrix}}_{A_{co}} \cdot \begin{bmatrix} x \\ \tilde{x} \end{bmatrix} + \begin{bmatrix} B \\ 0 \end{bmatrix} x_d$$

计算 $A_{co}$ 的特征值就是将 $A_c$ 与 $A_o$ 的特征值合并成一个集合

$$\det(\lambda I - A_{co}) = \det[\lambda I - (A - BK)] \times \det[\lambda I - (A - LC)] = 0$$